

01

Влияние оптических свойств на радиационно-кондуктивный теплообмен в слое с фазовым переходом

© С.Д. Слепцов¹, М.А. Гришин^{1,2}, О.В. Шарыпов^{1,2}

¹ Институт теплофизики им. С.С. Кутателадзе СО РАН, Новосибирск

² Новосибирский государственный университет, Новосибирск

E-mail: sleptsov@itp.nsc.ru

Поступило в Редакцию 26 сентября 2014 г.

Методами математического моделирования исследован радиационно-кондуктивный теплообмен с плавлением плоского слоя серой полупрозрачной изотропно рассеивающей среды. Нелинейная начально-краевая задача с движущейся свободной границей фазового перехода с учетом теплового излучения рассмотрена в однофазной постановке задачи Стефана. Получены распределения температуры и проанализировано влияние объемных и поверхностных оптических характеристик материала на процесс плавления слоя.

Исследование закономерностей радиационно-кондуктивного теплообмена (РКТ) в полупрозрачных средах с фазовым переходом первого рода важно для понимания процессов, широко распространенных в природе и технике. Описание данных явлений требует решения интегро-дифференциального уравнения переноса излучения. Движущаяся поверхность фазового перехода вносит дополнительные математические трудности. Целью работы является разработка и применение упрощенной эффективной модели РКТ в полупрозрачном изотропно рассеивающем слое с фазовым переходом первого рода. В работе [1] рассмотрен нестационарный РКТ в серой среде с фазовым переходом первого рода в предположении абсолютно черных поверхностей при заданном результирующем радиационно-кондуктивном тепловом потоке на нагреваемой поверхности. В работе [2] обосновано применение модифицированного метода средних потоков для решения радиационной части задачи, проведено термодинамическое обоснование граничных условий нестационарного РКТ при плавлении. В последующих работах [3–5] исследовалось влияние тепловых потоков и оптических

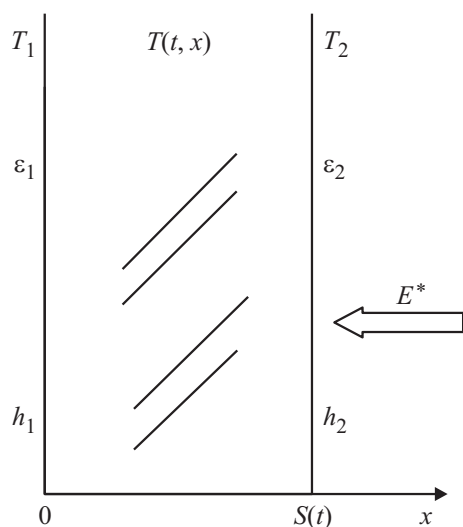


Рис. 1. Схема задачи.

свойств поверхности серой среды, однако такие объемные оптические свойства материала, как рассеяние и селективность, не учитывались.

Рассмотрим РКТ при плавлении плоского слоя конечной толщины ($0 \leq x \leq S(t)$) поглощающей, излучающей и изотропно рассеивающей полупрозрачной серой (без учета селективности) среды при разных значениях степени черноты поверхностей ε . На границу $x = S(t)$ падает внешний радиационный поток с плотностью E^* (рис. 1), температура поверхности повышается от начальной температуры слоя $T(0, x) = T_0$ вплоть до температуры плавления T_f . Предположим, что расплавленный поверхностный подслой уносится и тем самым не оказывает влияния на процесс. Температуропроводность a , теплопроводность λ , плотность ρ , удельная теплоемкость c_p твердой фазы, коэффициенты теплоотдачи $h_{1,2}$, температура окружающей среды $T_{1,2}$ считаются постоянными (индексы 1, 2 обозначают левую и правую границы соответственно). Коэффициенты преломления среды и окружающего пространства соответственно $n = 1.5$ и $n_{1,2} = 1$.

Решение задачи состоит из двух этапов, на которых решаются начально-краевые задачи: 1) нагрев слоя постоянной толщины S_0 до

достижения температуры фазового перехода на правой границе слоя;
 2) РКТ при фазовом переходе, когда положение правой границы слоя $S(t)$ с температурой T_f определяется из решения задачи.

Уравнение энергии имеет вид

$$\frac{\partial T(t, x)}{\partial t} = a \frac{\partial^2 T(t, x)}{\partial x^2} - \frac{1}{\rho c_p} \frac{\partial E(t, x)}{\partial x}, \quad 0 \leq x \leq S, \quad t \geq 0, \quad (1)$$

где E — плотность интегрального по спектру результирующего радиационного потока в слое:

$$E(t, x) = 2\pi \int_0^1 I(rt, x, \mu) \mu d\mu,$$

$I(t, x, \mu)$ — интегральная по спектру интенсивность излучения в сечении x по направлению, определяемому $\mu = \cos \theta$ (θ — угол между направлением излучения и осью x). Граничное условие на левой поверхности слоя

$$\lambda \frac{\partial T}{\partial x} + h_1(T_1 - T) + A_1(\sigma T_1^4 + E^-) - \varepsilon_1 \sigma T^4 = 0. \quad (2)$$

Условие сопряжения Стефана [4]

$$-\lambda \frac{\partial T}{\partial x} + h_2(T_2 - T) + A_2(E^* + E^+) - \varepsilon_2 \sigma T^4 + \rho \gamma \frac{dS}{dt} = 0, \quad x = S, \quad (3a)$$

используется в качестве граничного условия на первом этапе ($dS/dt = 0$), а на втором этапе — для определения скорости движения правой границы слоя. Здесь A_i — поверхностный коэффициент поглощения излучения на границе слоя, σ — постоянная Стефана–Больцмана, ε_i — степень черноты границ, γ — скрытая теплота плавления, $i = 1, 2$. В предположении о гипотезе локально-термодинамического равновесия, при котором рассматривается данная постановка, полагаем, что справедливость закона Кирхгофа на границе $A_i = \varepsilon_i$. Граничное условие на втором этапе — постоянство температуры:

$$T(t, S) = T_f. \quad (3b)$$

Используя модифицированный метод средних потоков (СП-метод) [6,7], выразим $E(t, x)$ через интенсивности излучения „вперед“ I^+ и „назад“ I^- :

$$E = 2\pi \int_0^1 (I^+ - I^-) \mu d\mu = E^+ - E^-.$$

При этом величины E^\pm определяются системой из двух уравнений, к которой сводится интегро-дифференциальное уравнение переноса излучения для плоского слоя изотропно рассеивающей среды [5]:

$$\begin{aligned} \frac{d}{dx}(E^+ - E^-) + \alpha(m^+E^+ - m^-E^-) &= 4\alpha n^2 \sigma T^4; \\ \frac{d}{dx}(m^+\delta^+E^+ - m^-\delta^-E^-) + (\alpha + \beta)(E^+ - E^-) &= 0. \end{aligned} \quad (4)$$

Здесь α и β — коэффициенты объемного поглощения и рассеяния, n — показатель преломления материала, m^\pm и δ^\pm — коэффициенты распределения интенсивности и диффузии излучения в среде по направлениям в сечении объема слоя.

Граничные условия для уравнений переноса излучения (4), согласно [3]:

— на непрозрачных диффузно излучающих поверхностях

$$\begin{aligned} E^+ &= \varepsilon_1 n^2 \sigma T^4 + (1 - \varepsilon_1)E^-, \quad x = 0; \\ E^- &= \varepsilon_2 n^2 \sigma T^4 + (1 - \varepsilon_2)E^+, \quad x = S(t). \end{aligned} \quad (5a)$$

— на прозрачных поверхностях

$$\begin{aligned} E^+ &= (1 - r_1)\sigma T_1^4 + \left(1 - \frac{(1 - r_1)}{n^2}\right)E^-, \quad x = 0; \\ E^- &= (1 - r_2)E^* + \left(1 - \frac{(1 - r_2)}{n^2}\right)E^+, \quad x = S(t). \end{aligned} \quad (5b)$$

Здесь r — коэффициент отражения излучения на границе слоя.

Красная задача (1)–(3) аппроксимируется неявной конечно-разностной схемой и решается итерациями методом прогонки. Схема

является абсолютно устойчивой и имеет второй порядок аппроксимации по координате и первый — по времени. Радиационные потоки представляют собой внутренние источники и определяются из решения уравнений (4) с известным распределением температуры. При решении радиационной части задачи (4), (5) в СП-методе используется метод матричной факторизации, обеспечивающий быструю сходимость итераций и высокую точность результатов. Шаг по пространству равен $0.01S(t)$, т.е. изменяется в процессе расчета от 1 до 0.01 мм. Шаг по времени соответствует 1 с.

Расчеты проводились при следующих значениях физических параметров: $S_0 = 0.1\text{ м}$, $T_0 = 300\text{ К}$, $T_f = 1000\text{ К}$, $T_1 = 300\text{ К}$, $T_2 = 900\text{ К}$, $\rho = 2000\text{ кг/м}^3$, $\gamma = 500\text{ кДж/кг}$, $\lambda = 1\text{ Вт/м}\cdot\text{К}$, $a = 10^{-6}\text{ м}^2/\text{с}$, $n = 1.5$, $\alpha = 10\text{ м}^{-1}$. Для случая абсолютно поглощающих границ ($\varepsilon_{1,2} = 1$) падающий радиационный поток составлял $E^* = 150\text{ кВт/м}^2$, коэффициенты теплоотдачи стенок $h_{1,2} = 10\text{ Вт/(м}^2\cdot\text{К)}$. При моделировании прозрачных границ ($\varepsilon_{1,2} = 0$) были заданы $r_{1,2} = 0, 1$, $E^* = 200\text{ кВт/м}^2$, $h_{1,2} = 1\text{ Вт/(м}^2\cdot\text{К)}$ — для сокращения времени полного расплавления слоя. В обоих случаях $\varepsilon_{1,2} = 1$ и $\varepsilon_{1,2} = 0$ расчеты проводились при $\beta = 0$ и $\beta = 10\text{ м}^{-1}$. Расчет продолжался до момента времени, когда толщина слоя уменьшалась до 1 мм. Полученные результаты для черных стенок в случае $\beta = 0$ соответствуют известным расчетным данным [8].

На рис. 2 представлены распределения безразмерной температуры $\theta(t, \xi) \equiv T(t, x/S(t))/T_f$ начиная с момента, когда температура правой границы достигает T_f . Максимальное время соответствует толщине слоя $S = 1\text{ мм}$ и является временем прекращения итераций. В случае черных границ $\varepsilon_{1,2} = 1$ также приведены распределения температуры в промежуточные моменты времени, когда температура левой стенки достигает 600, 800 К (рис. 2, *a, b*). Для прозрачных стенок $\varepsilon_{1,2} = 0$ промежуточные моменты времени соответствуют уменьшению толщины слоя до $S = 0.07\text{ м}$ и $S = 0.04\text{ м}$ (рис. 2, *c, d*).

Для случая $\varepsilon_{1,2} = 1$ (рис. 2, *a, b*) характерен быстрый прогрев всей толщины слоя. Температура левой границы достигает $0.8T_f$ за время, когда расплавилось менее 5% вещества: $S = 0.096\text{ м}$ при $t = 687\text{ с}$ (рис. 2, *a*). Дальнейшее плавление происходит при распределении температуры, близком к линейному. Изотропное рассеяние при $\varepsilon_{1,2} = 1$ не влияет на характерные времена изменения температуры в слое, а лишь перераспределяет тепловые потоки, что отчетливо видно при $t \approx 250\text{ с}$ (рис. 2, *a, b*).

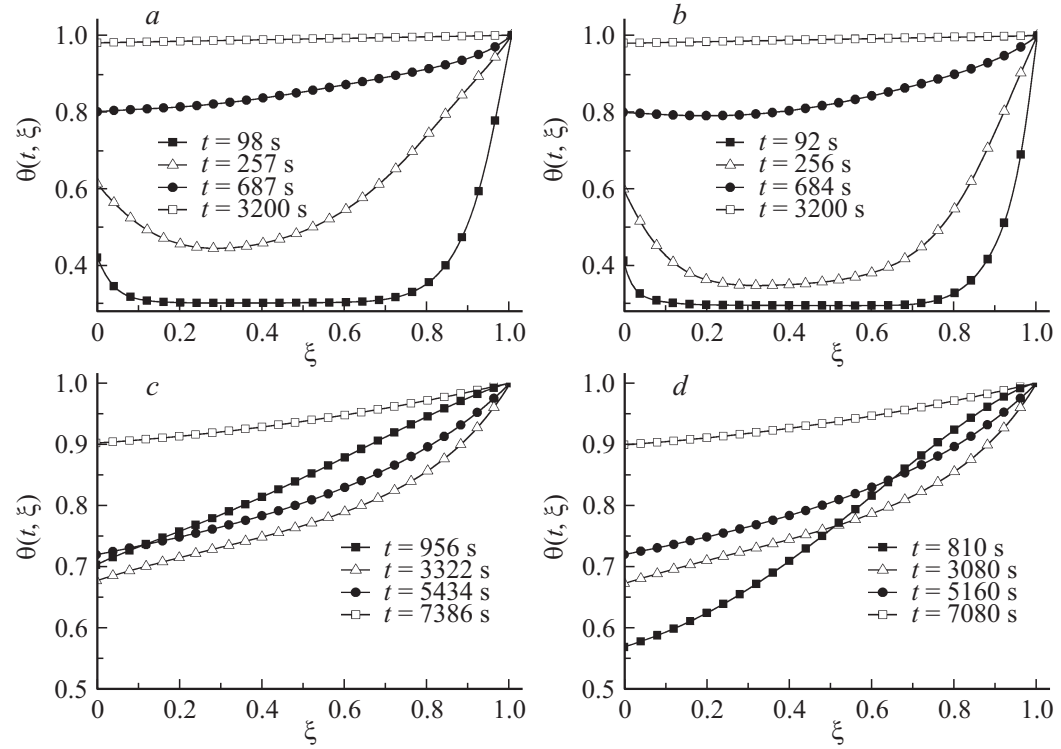


Рис. 2. Распределения температуры в слое: черные границы (a, b); абсолютно прозрачные границы (c, d); $\beta = 0$ (a, c); $\beta = 10 \text{ m}^{-1}$ (b, d).

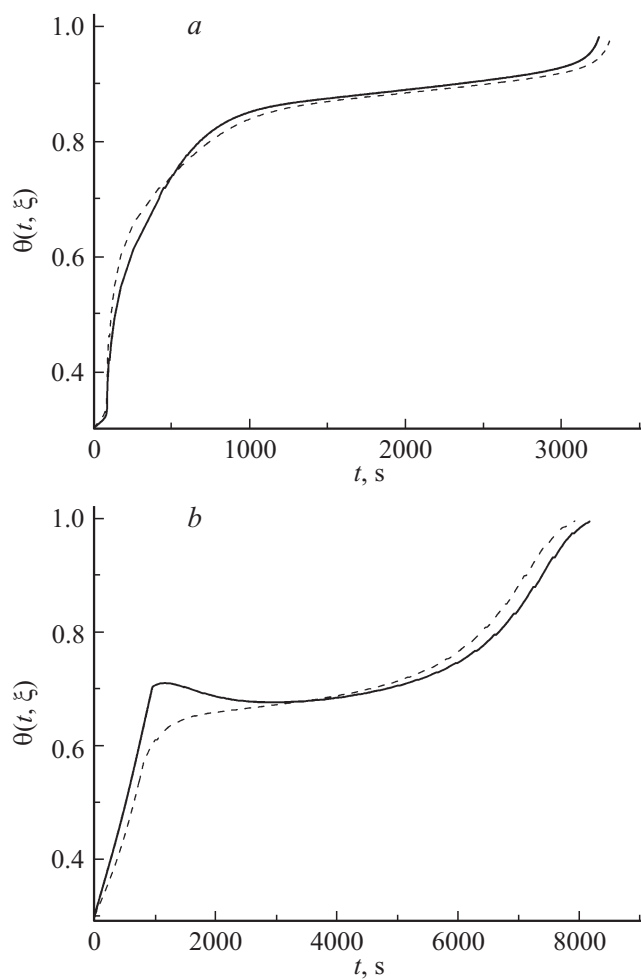


Рис. 3. Температура на левой границе слоя: черные границы (а); абсолютно прозрачные границы (b); сплошная линия — $\beta = 0$; пунктирная линия — $\beta = 10 \text{ м}^{-1}$.

При абсолютно прозрачных границах слоя $\varepsilon_{1,2} = 0$ динамика прогрева слоя и характер распределения температуры носят принципиально иной характер: вместо монотонного роста температуры во всех сече-

ниях слоя, имеет место временное понижение температуры, особенно заметное вблизи правой границы (рис. 2, *c, d*). Только когда слой становится достаточно тонким, температура вновь начинает возрастать во всей области $0 \leq x < S$. Изотропное рассеяние, перераспределяя тепловой поток, способствует уменьшению области, в которой наблюдается понижение температуры (рис. 2, *d*).

Изменение температуры левой границы показано на рис. 3. Медленный рост температуры в начале процесса в случае $\varepsilon_{1,2} = 1$ (рис. 3, *a*) относится к первому этапу задачи — нагреву до начала фазового перехода. На втором этапе скорость изменения температуры носит немонотонный характер: быстрый нагрев до $T(t, 0) \approx 0.8T_f$ сменяется при $t > 1000$ s медленным повышением температуры с резким подъемом в самом конце процесса плавления слоя. Динамика изменения температуры левой поверхности слоя для случая прозрачных границ совершенно иная (рис. 3, *b*). При $\beta = 0$ наблюдается немонотонное изменение температуры с понижением на начальной стадии плавления, а процесс плавления в целом сильно затягивается по сравнению со случаем черных стенок.

Полученные результаты свидетельствуют о том, что изотропное рассеяние излучения в серой среде с черными границами в целом слабо влияет на РКТ в слое с фазовым переходом: качественная картина распределения температуры в слое и время плавления слоя практически не зависят от β . Влияние объемных оптических свойств материала существенно возрастает в случае прозрачных границ. В частности, от рассеяния зависит монотонность изменения температуры в слое, в том числе на левой, „холодной“, границе. Оптические свойства поверхности оказывают преобладающее влияние на исследуемые процессы по сравнению с объемными свойствами (рассеянием излучения). Переход от черных границ к прозрачным приводит к резкому возрастанию времени плавления, а также к качественному изменению характера распределения и динамики температуры в слое.

Работа выполнена при финансовой поддержке Российского фонда фундаментальных исследований (код проекта 12-08-00154-а).

Список литературы

- [1] *Dez V.Le, Yousefian F., Vaillon R., Lemonnier D., Lallemand M.* // J. Phys. III. France. 1996. V. 6. P. 373–390.

- [2] *Рубцов Н.А.* // Теплофизика и аэромеханика. 2004. Т. 11. № 2. С. 313–324.
- [3] *Рубцов Н.А., Слепцов С.Д.* // Теплофизика и аэромеханика. 2005. Т. 12. № 1. С. 95–103.
- [4] *Рубцов Н.А., Слепцов С.Д.* // Теплофизика и аэромеханика. 2005. Т. 12. № 3. С. 483–489.
- [5] *Рубцов Н.А., Слепцов С.Д.* // Теплофизика и аэромеханика. 2009. Т. 16. № 2. С. 299–306.
- [6] *Пономарев Н.Н.* // Изв. СО АН СССР. Сер. техн. наук. 1979. Т. 3. № 13. С. 64–68.
- [7] *Рубцов Н.А.* Теплообмен излучением в сплошных средах. Новосибирск: Наука. Сиб. отд-ние, 1984. 277 с.
- [8] *Рубцов Н.А., Саввинова Н.А., Слепцов С.Д.* // Теплофизика и аэромеханика. 2003. Т. 10. № 2. С. 255–264.